

FIG. 1

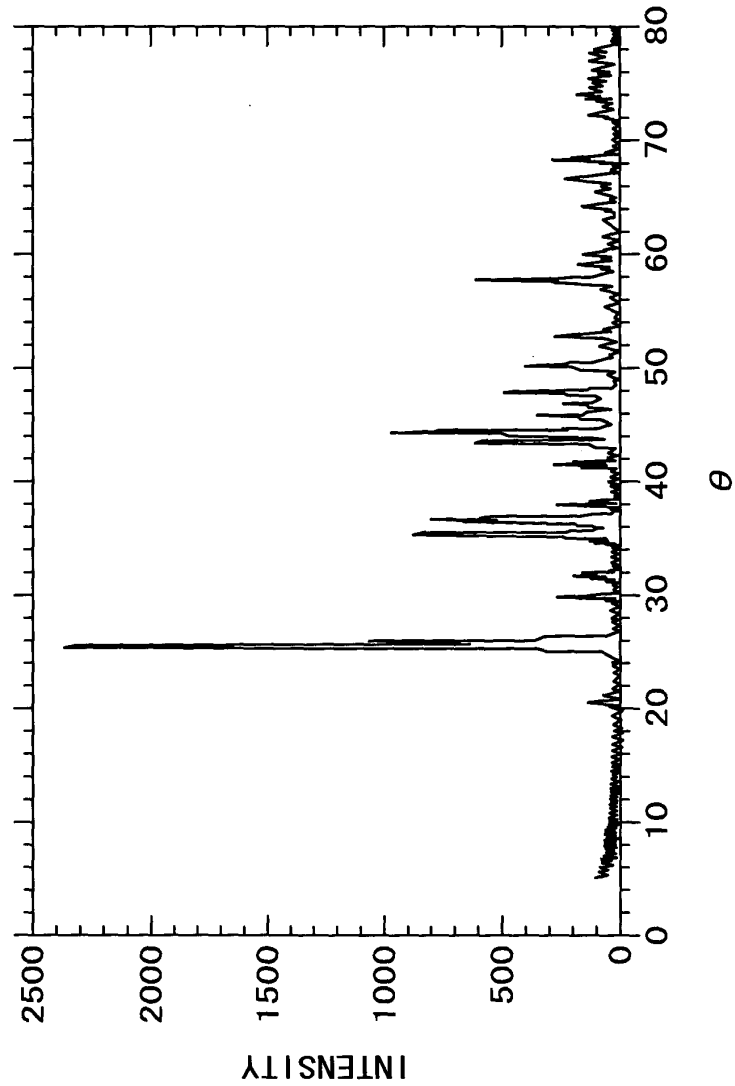


FIG. 2

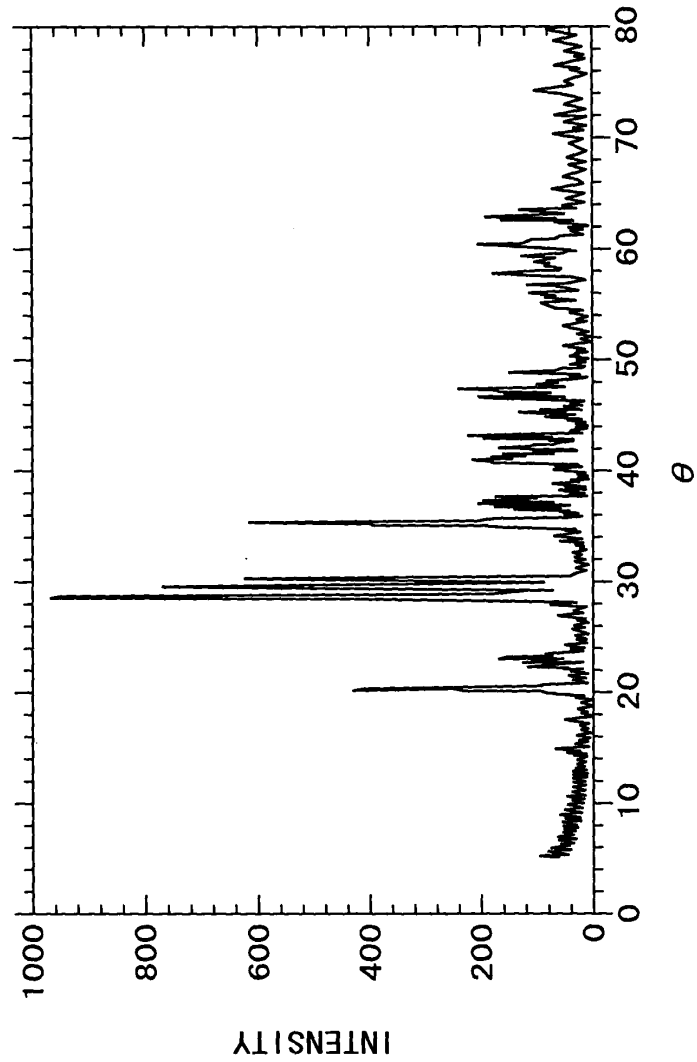
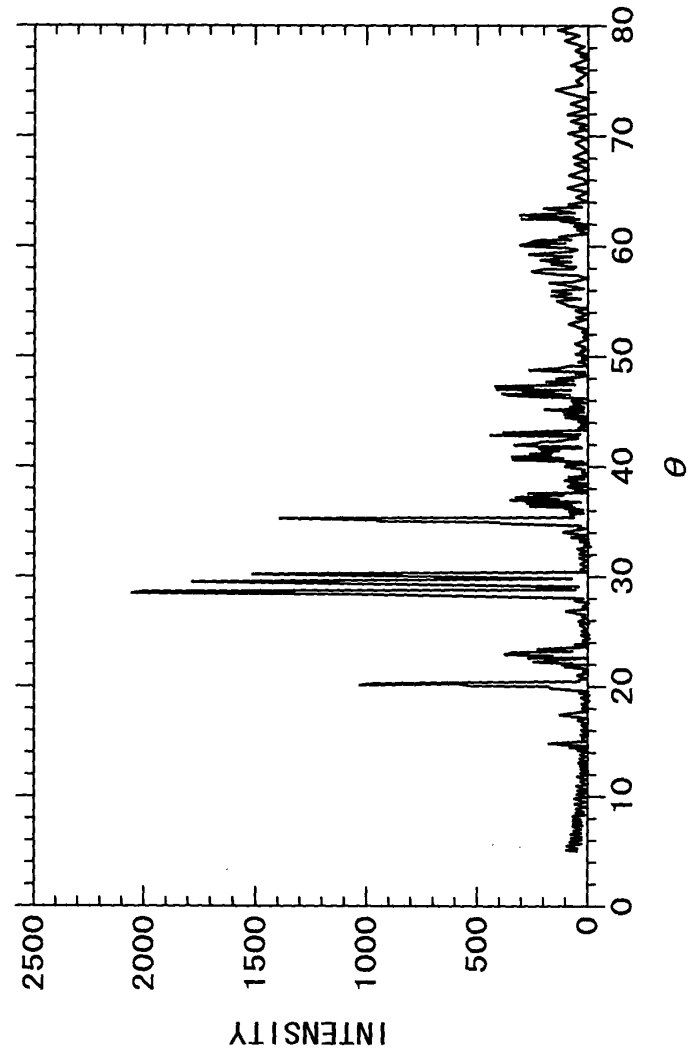


FIG. 3



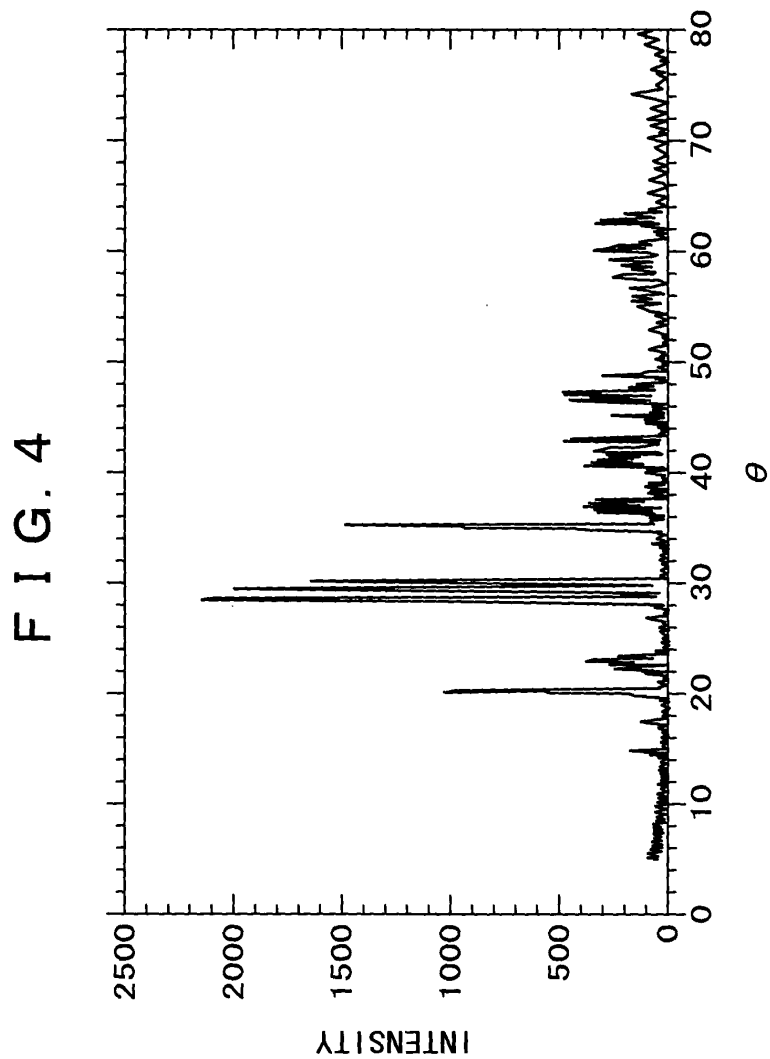


FIG. 5B



FIG. 5D



FIG. 5A



FIG. 5C



F I G. 6

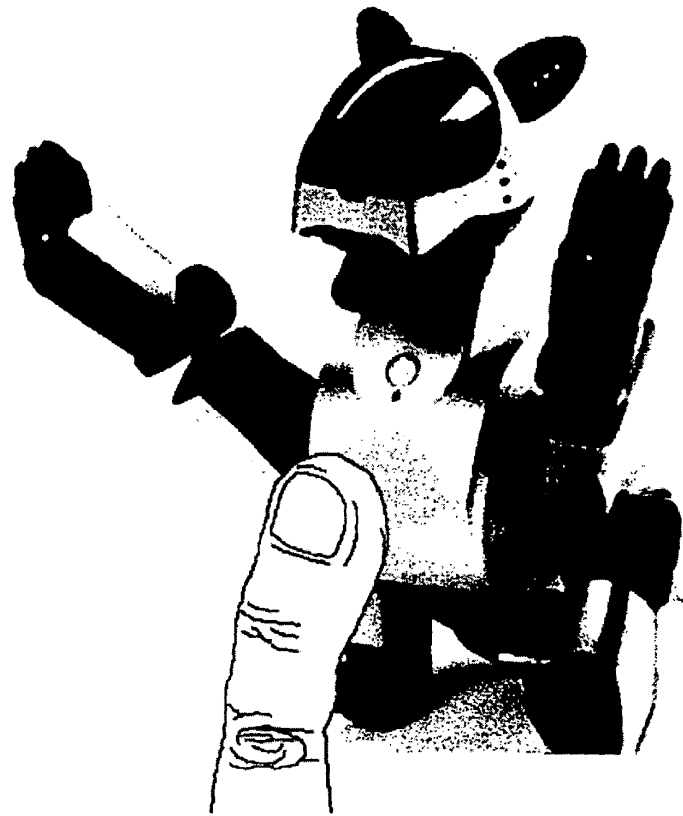


FIG. 7

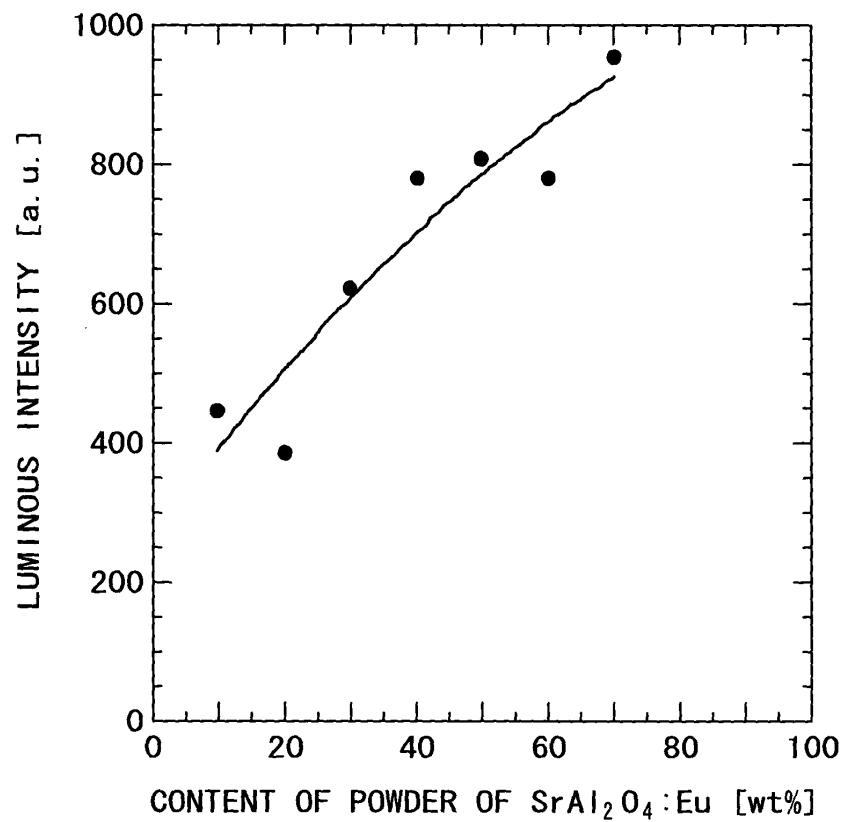


FIG. 8A

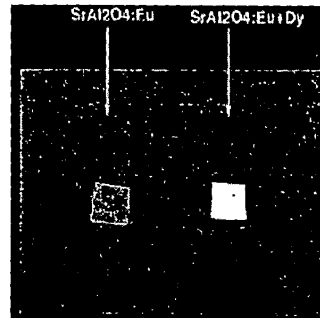


FIG. 8B

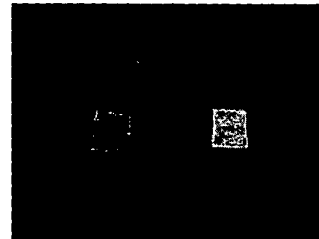


FIG. 8C

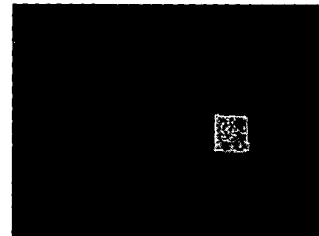


FIG. 8D

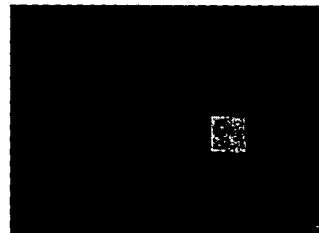


FIG. 8E

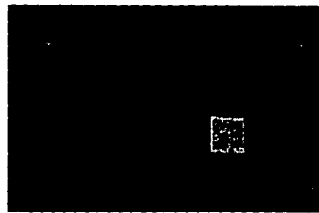




FIG. 9A

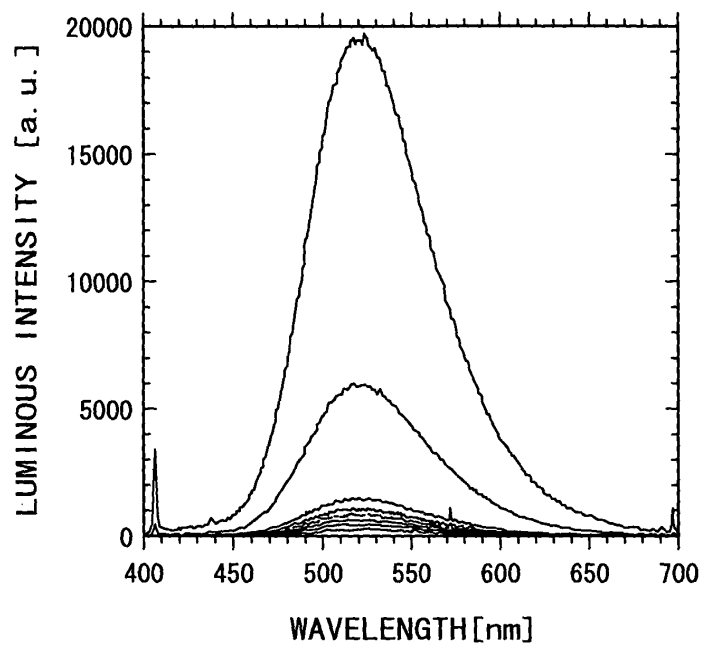


FIG. 9B

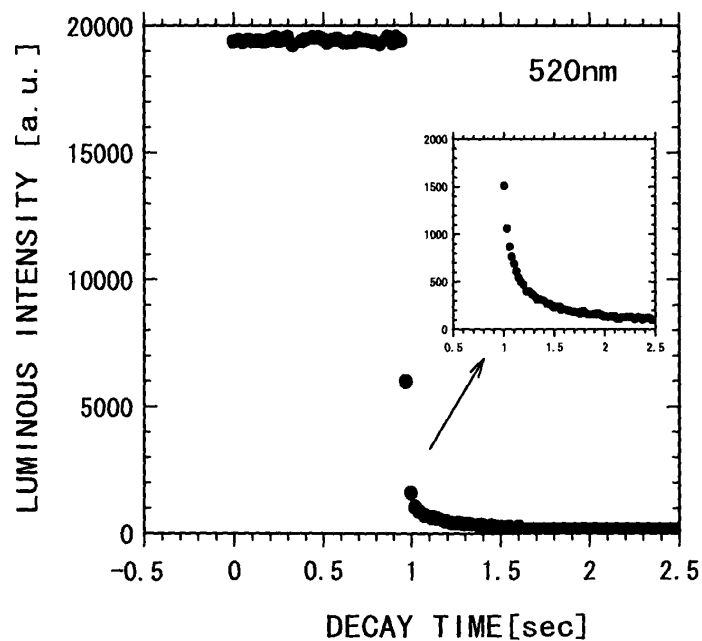


FIG. 10A

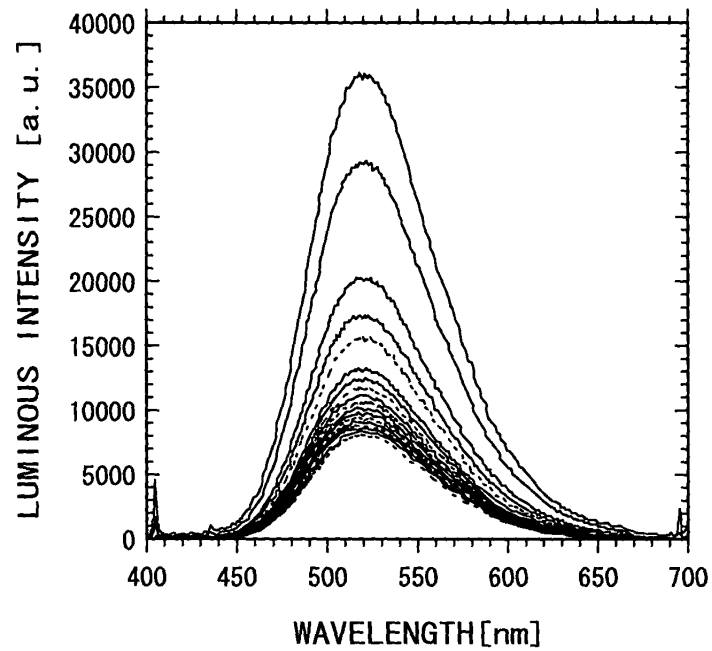


FIG. 10B

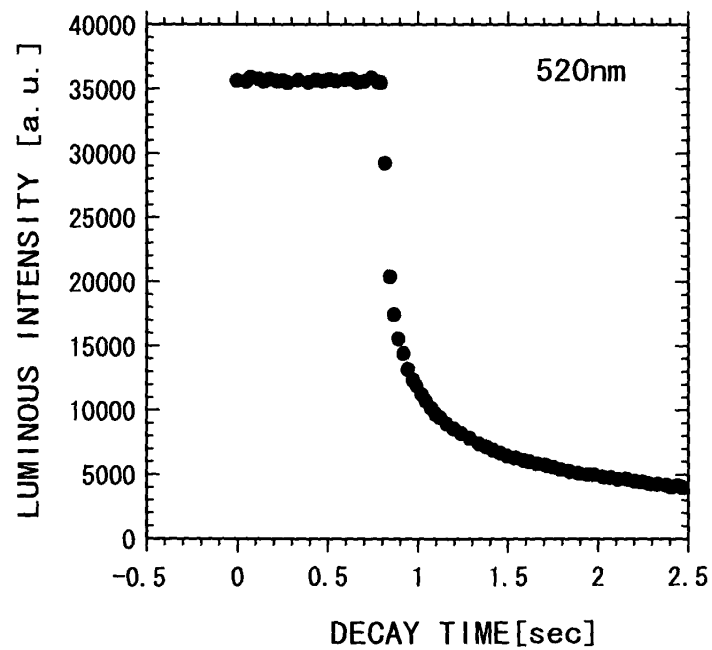


FIG. 11

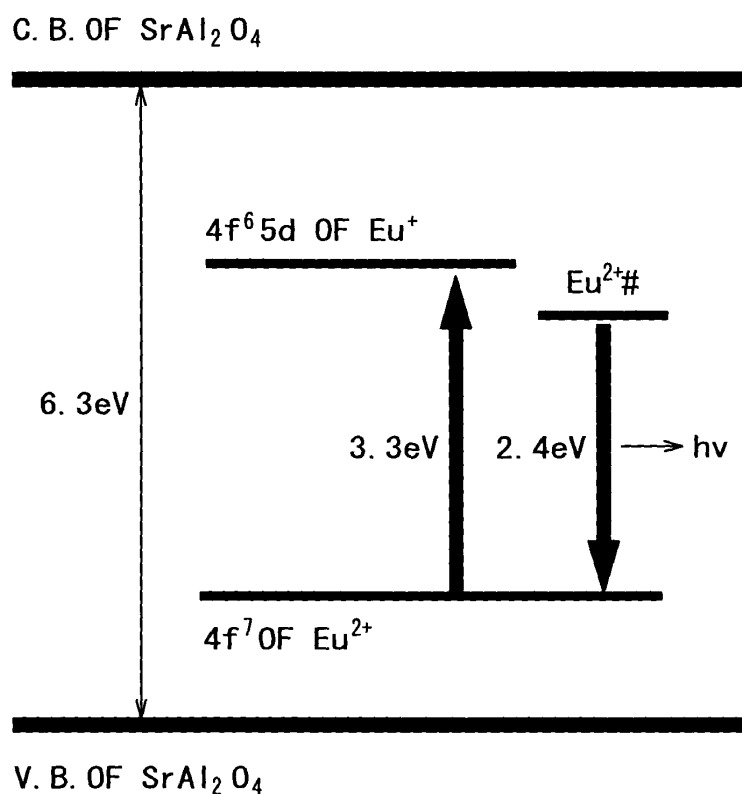


FIG. 12A FIG. 12B FIG. 12C FIG. 12D FIG. 12E

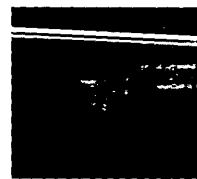
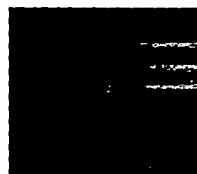
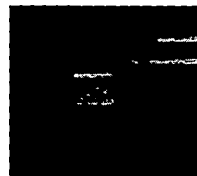
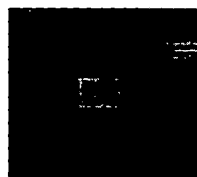
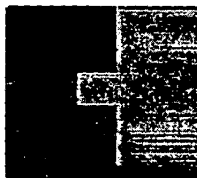


FIG. 13C

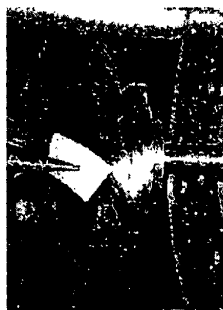


FIG. 13B

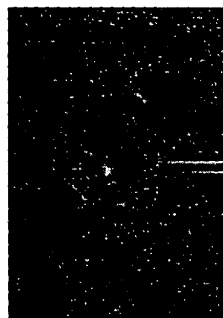
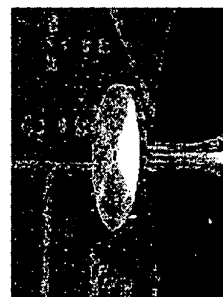


FIG. 13A



## FIG. 14A

OFF STATE



## FIG. 14B

ON STATE

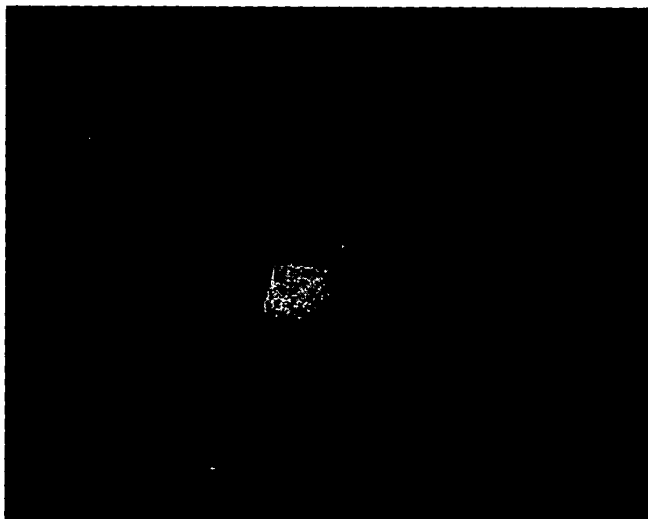


FIG. 15

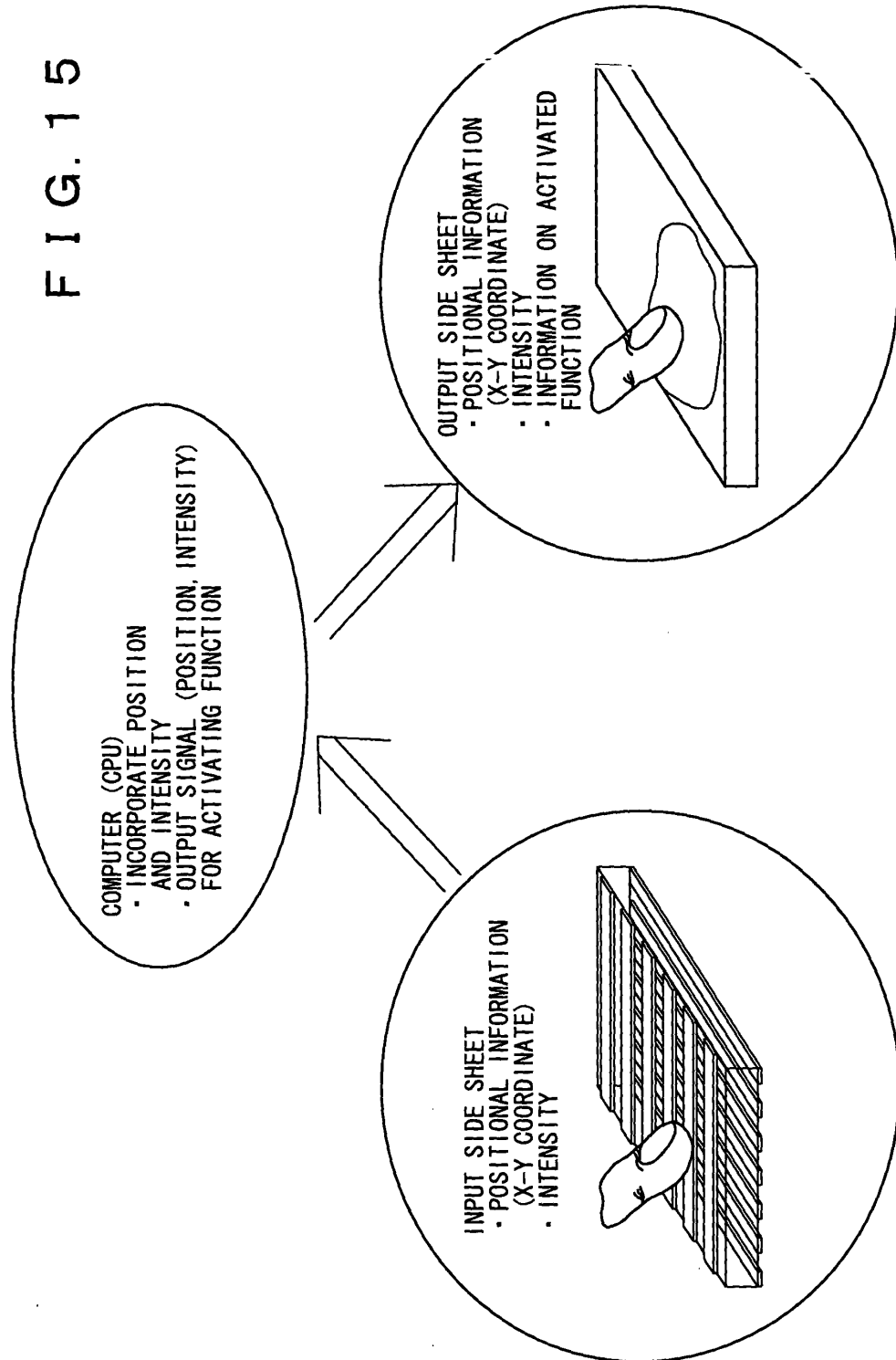


FIG. 16





FIG. 17

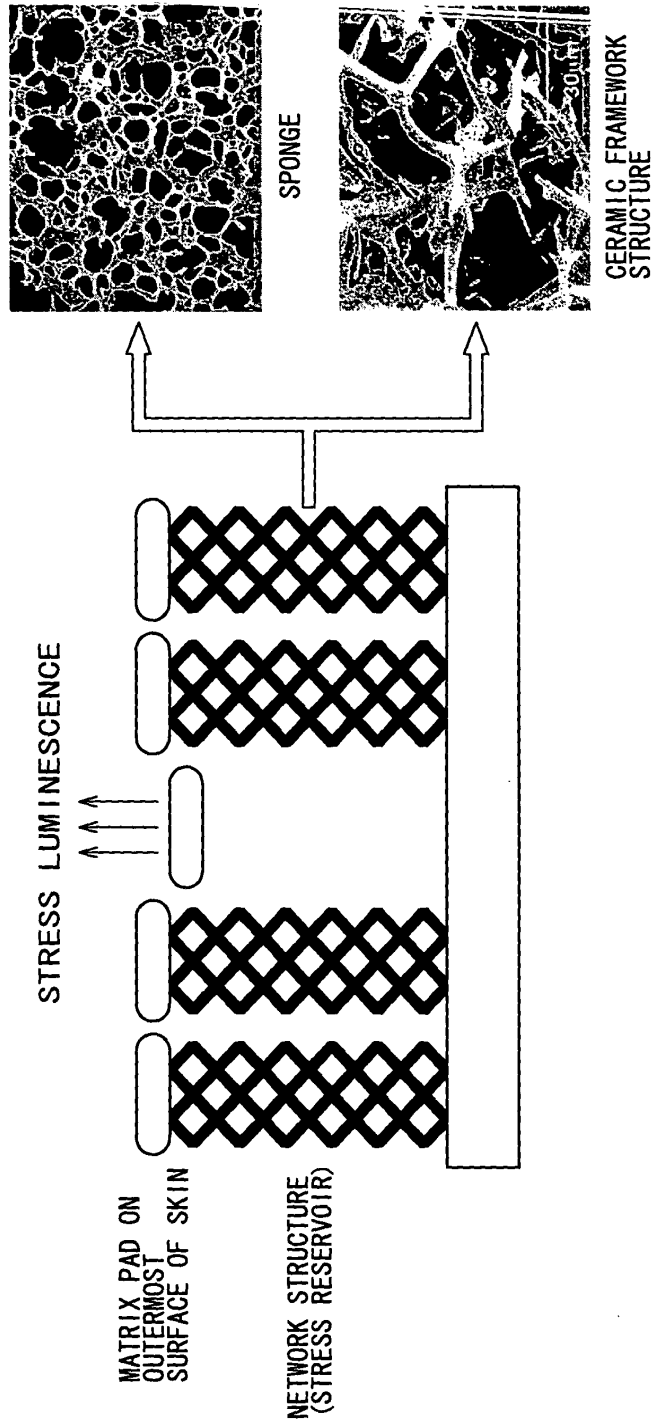


FIG. 18

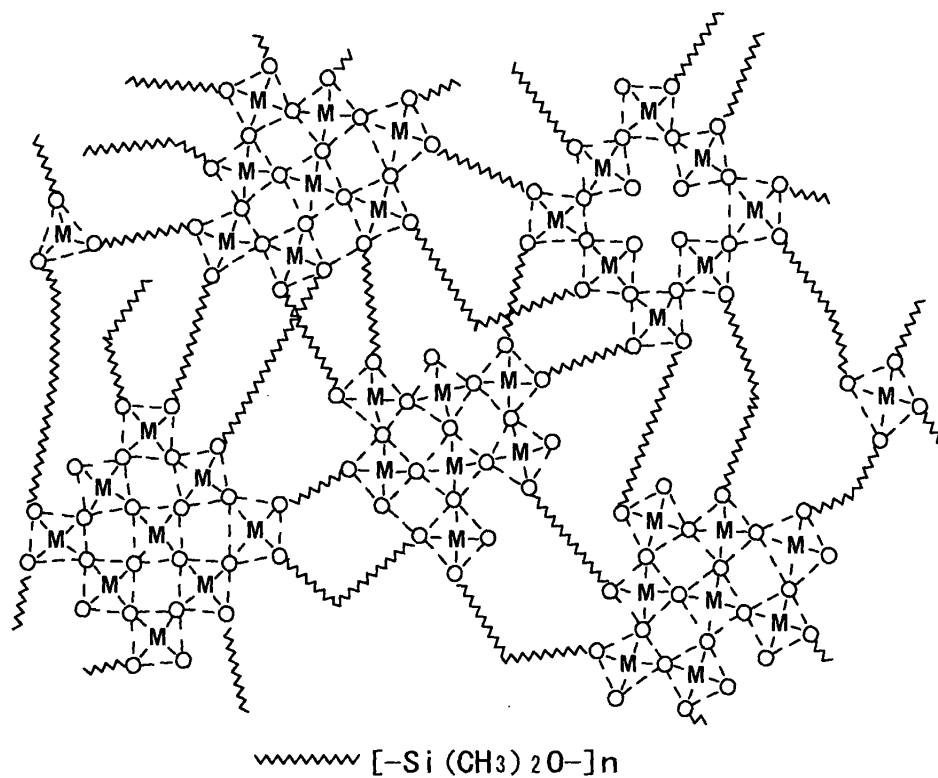


FIG. 19

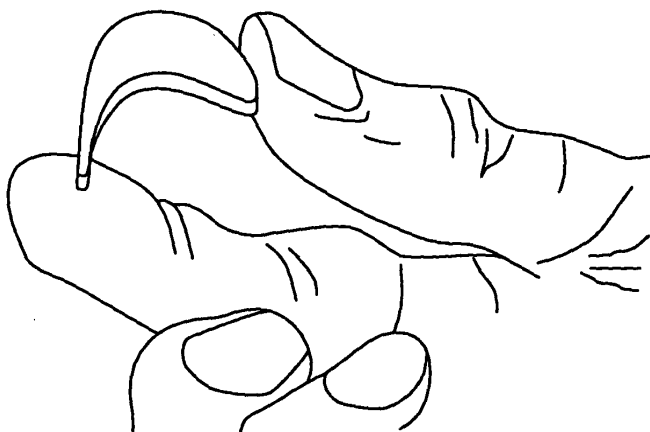


FIG. 20

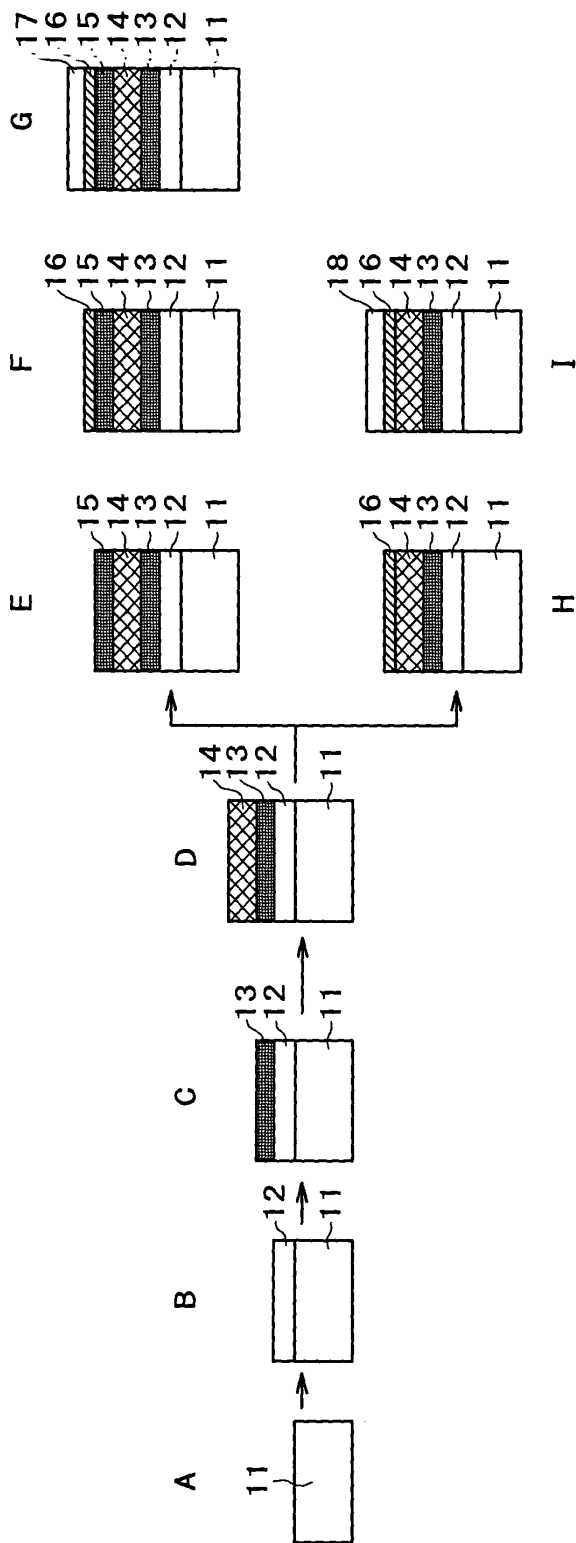


FIG. 21

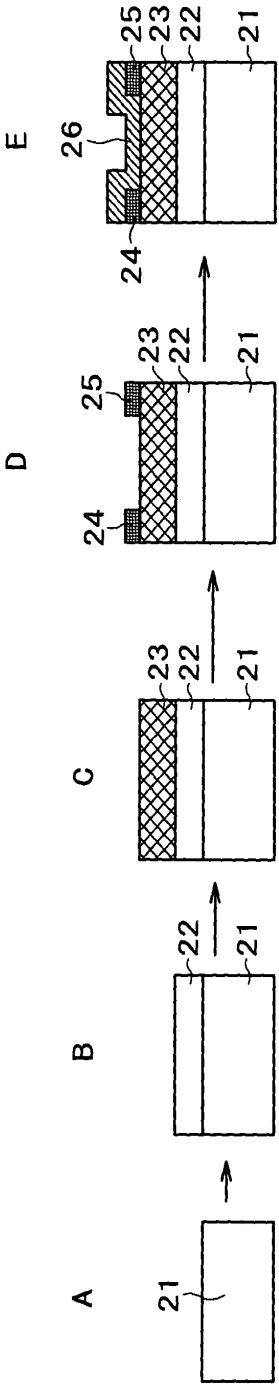
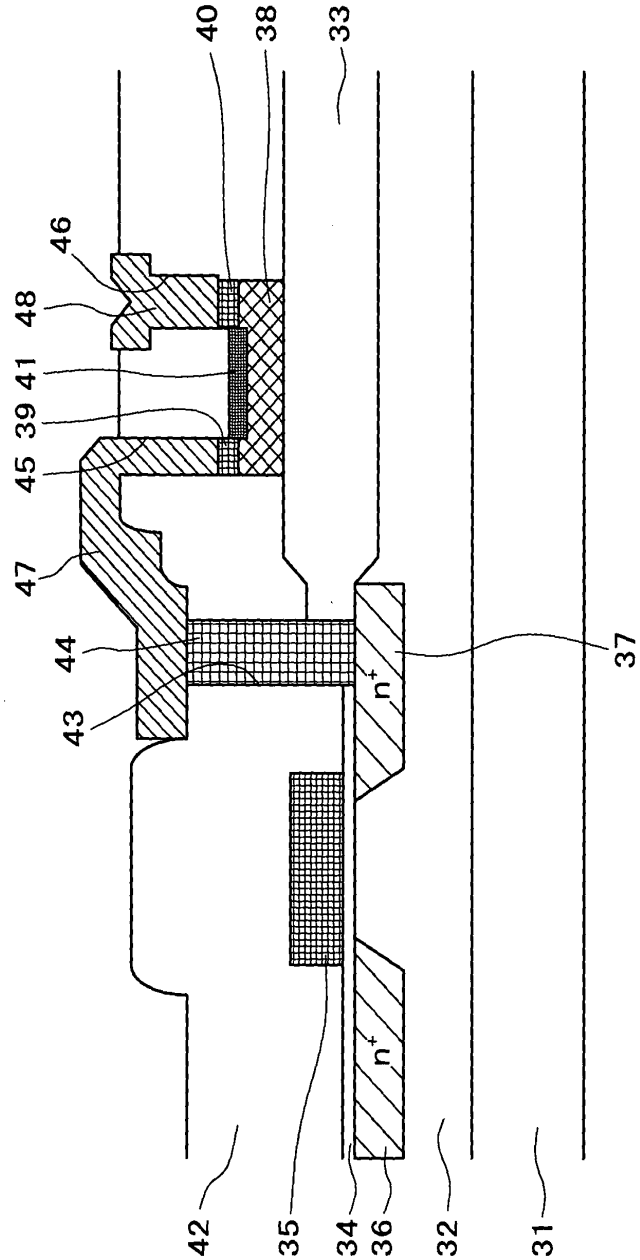


FIG. 22



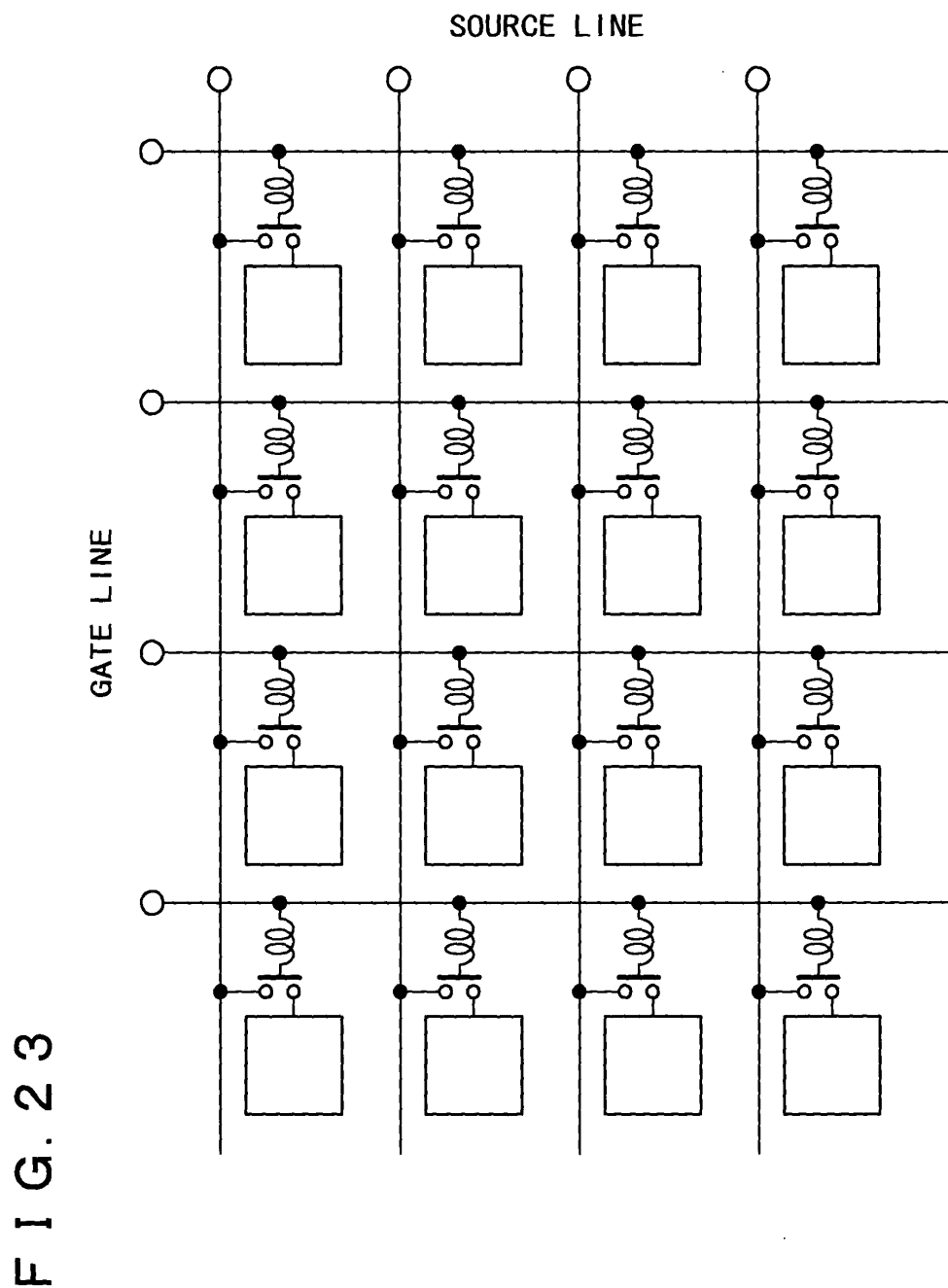
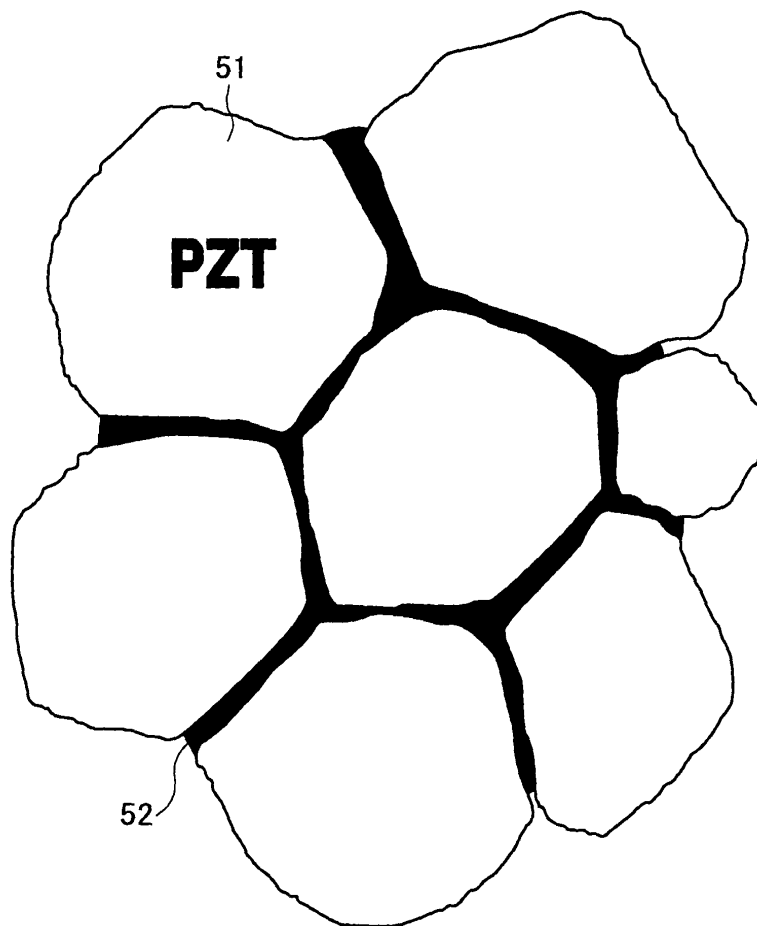
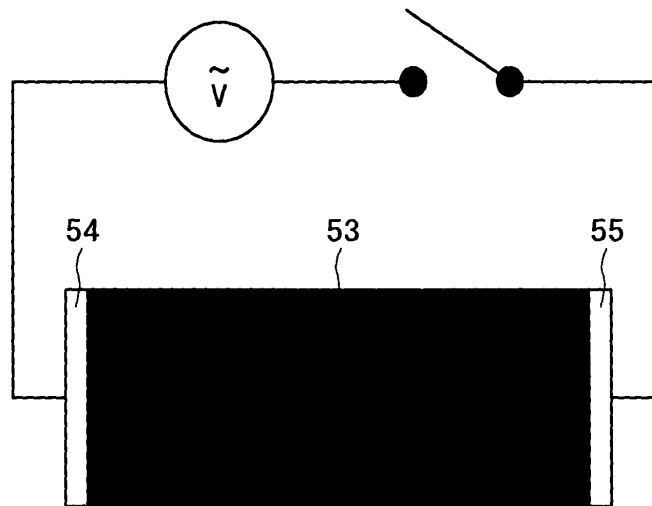


FIG. 24





F I G. 2 5 A



F I G. 2 5 B

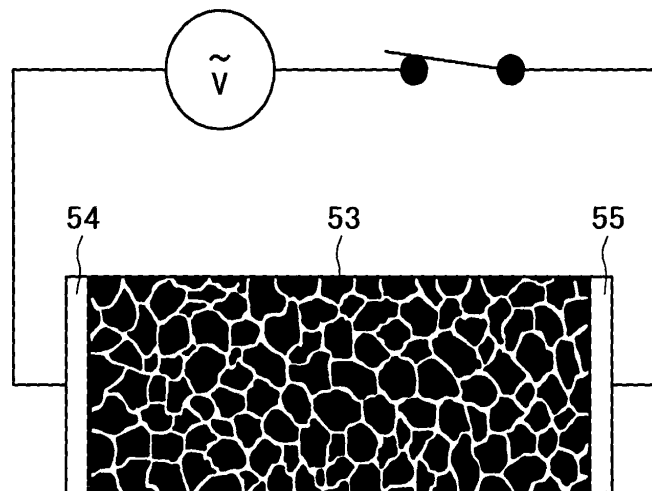
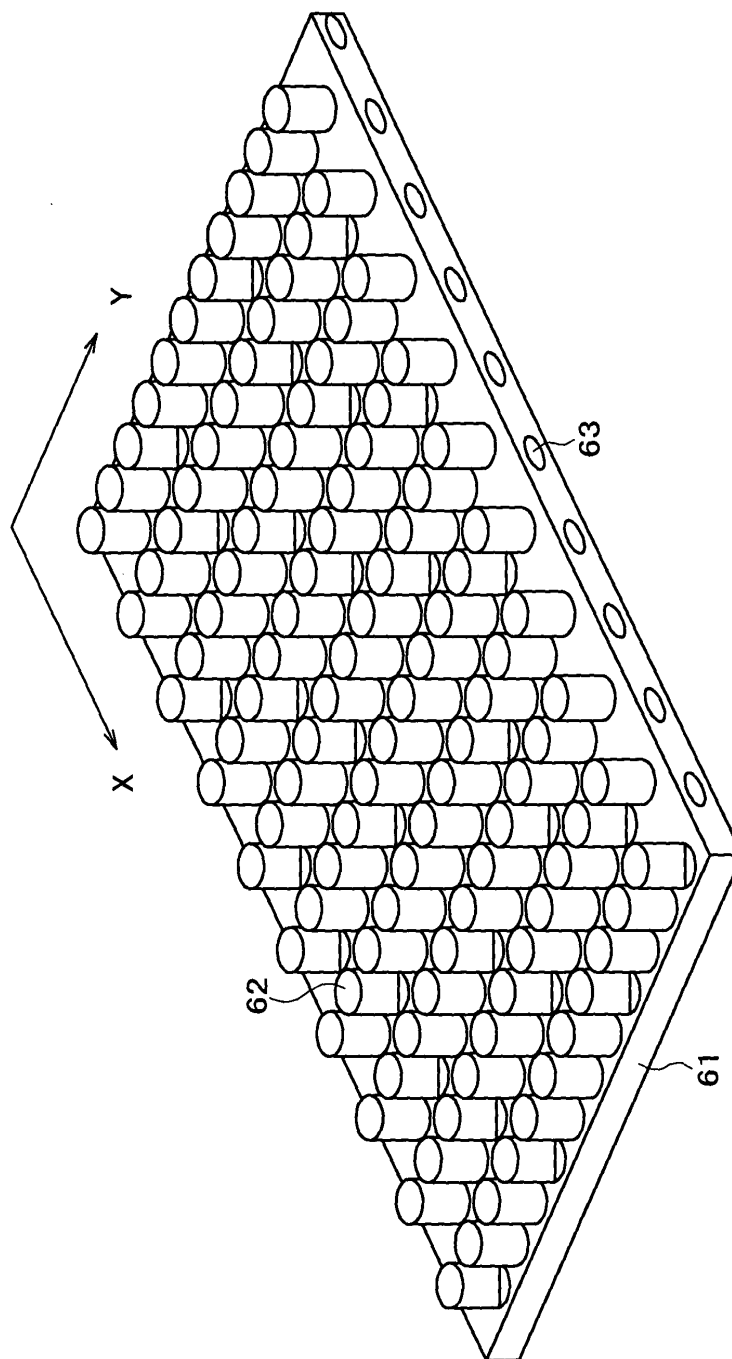


FIG. 26



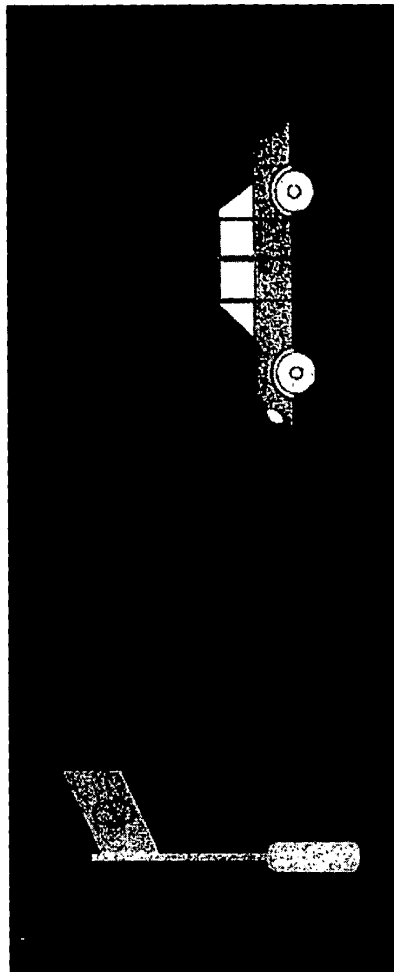


FIG. 27A

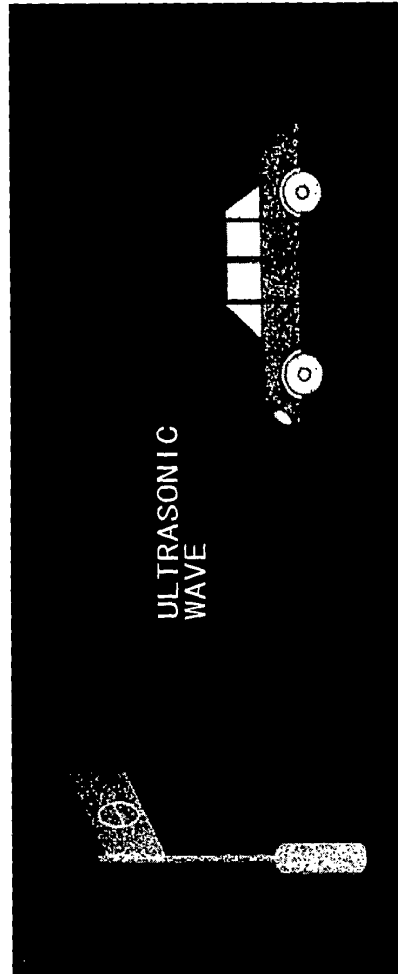


FIG. 27B

FIG. 28

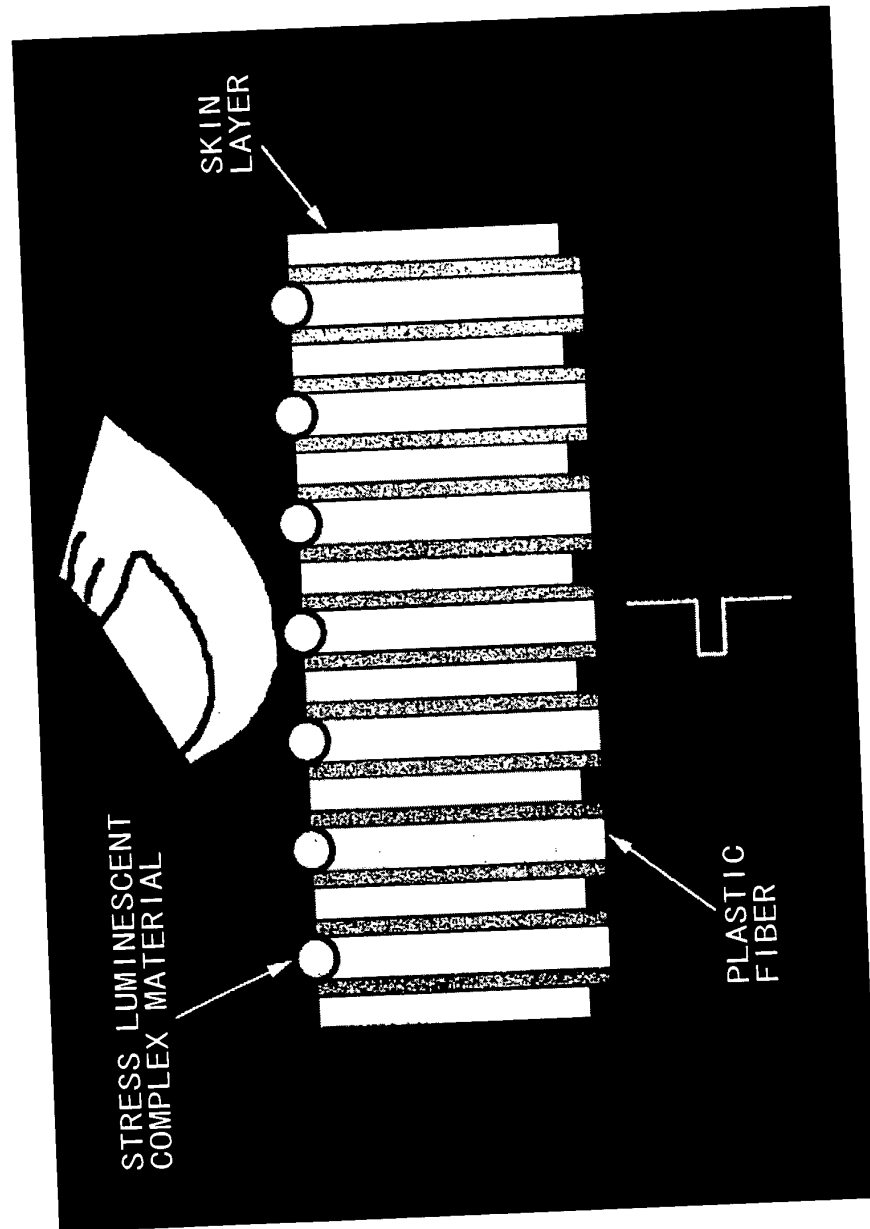


FIG. 29A

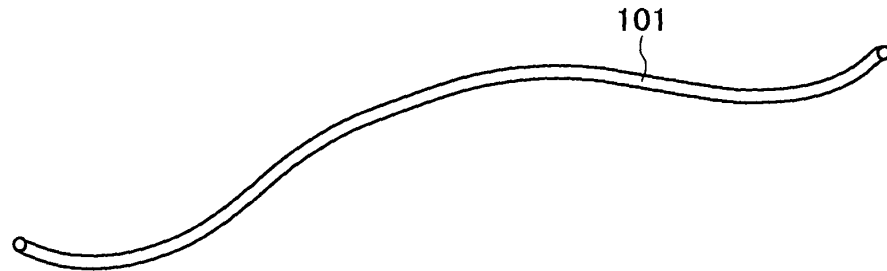


FIG. 29B

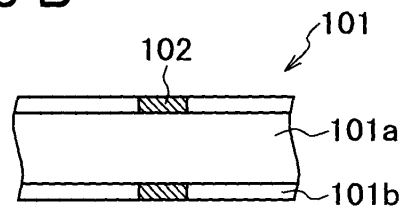


FIG. 29C

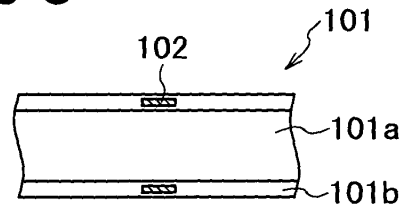


FIG. 29D

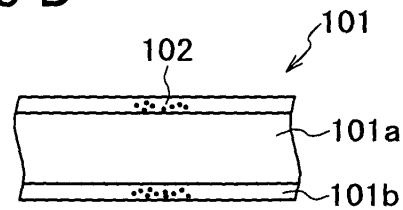


FIG. 30

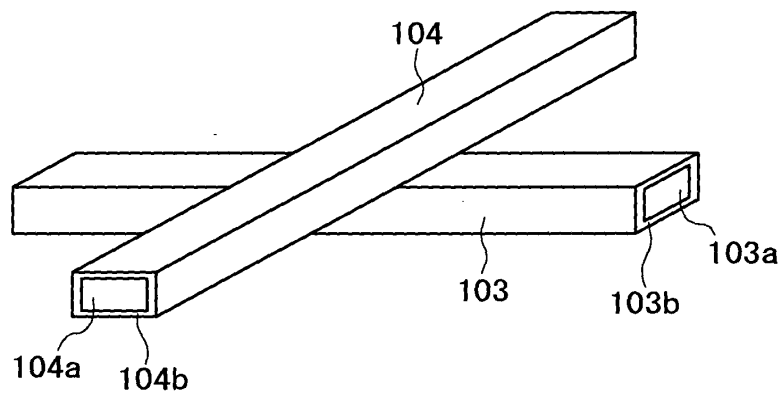


FIG. 31

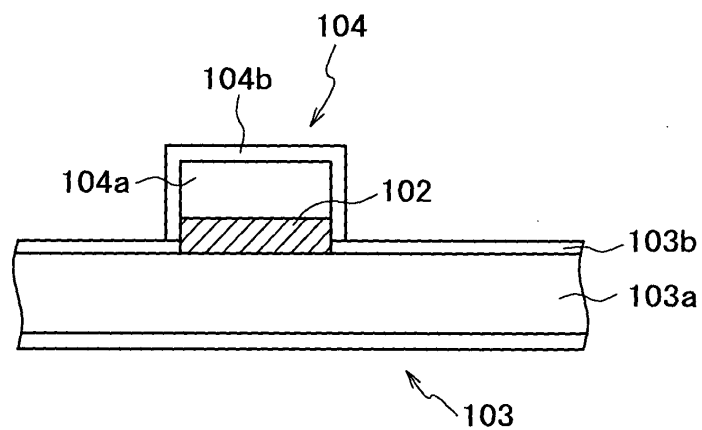


FIG. 32

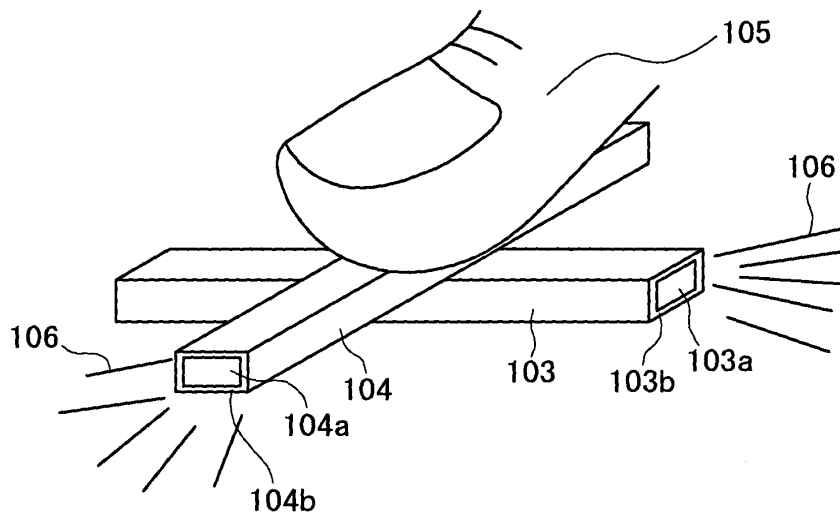
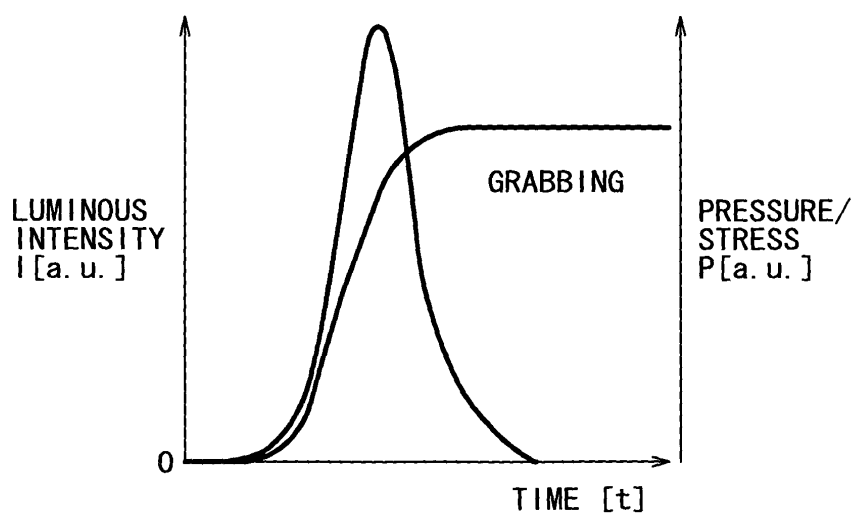


FIG. 33





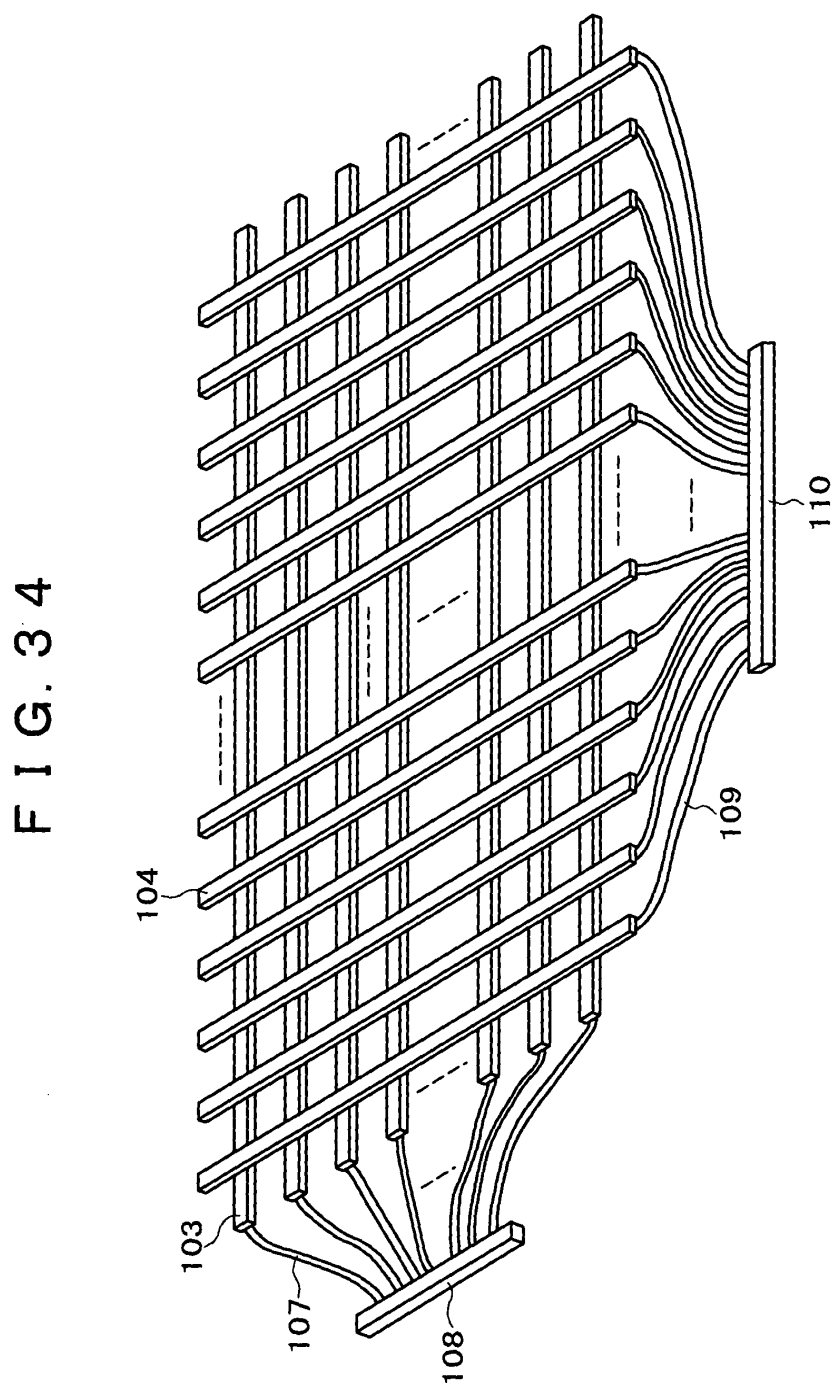


FIG. 35

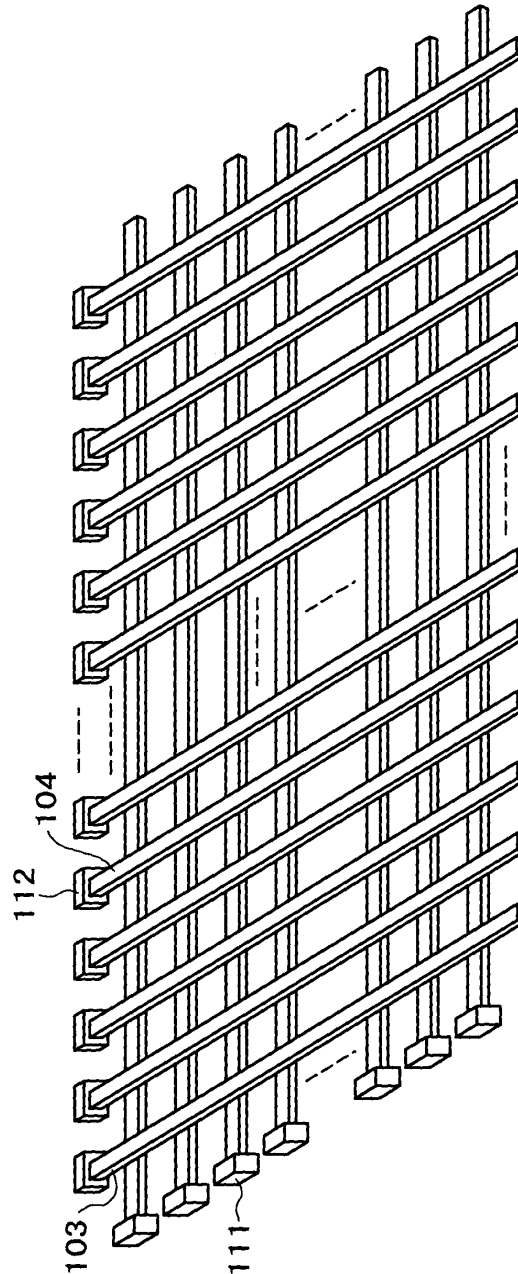


FIG. 36

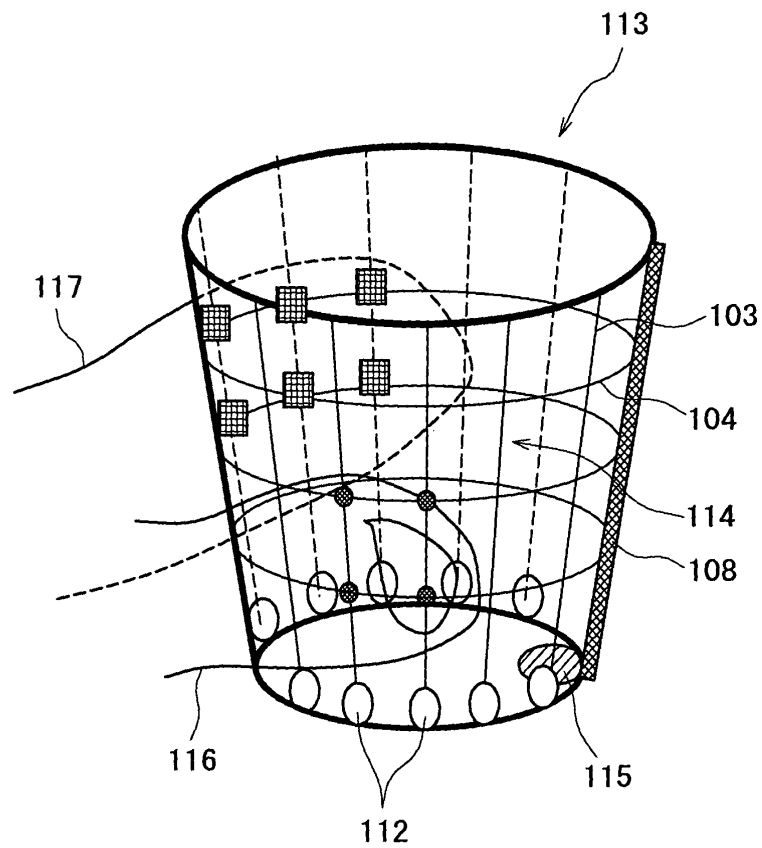


FIG. 37

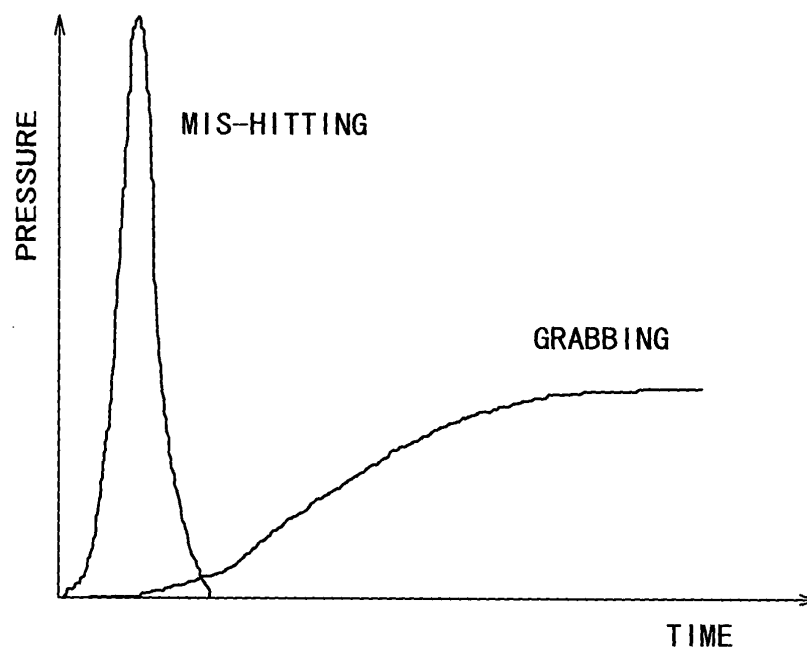


FIG. 38

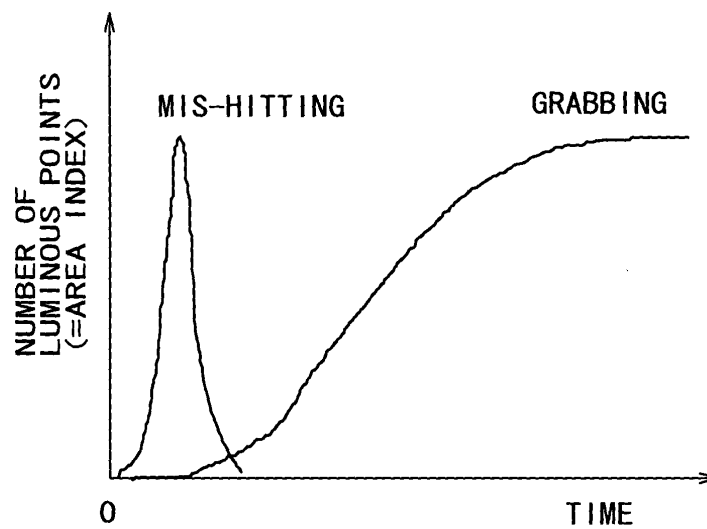


FIG. 39

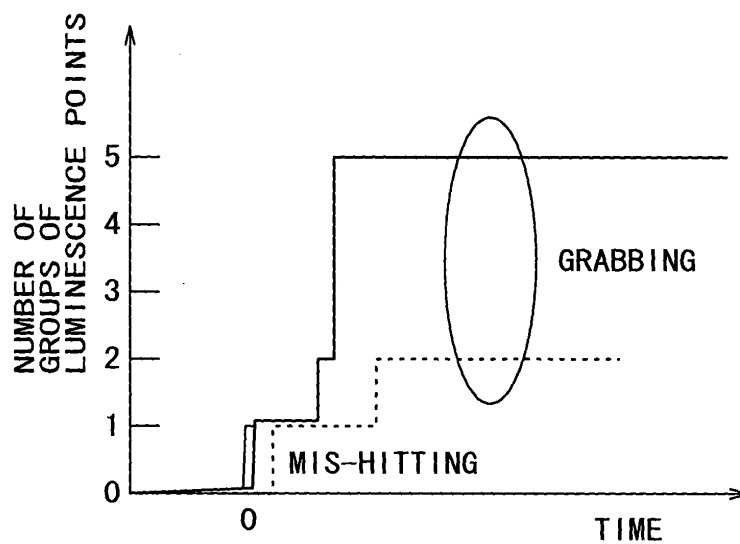


FIG. 40C  
ENLARGED VIRTUAL TWO-DIMENSIONAL  
PLANE IMAGE

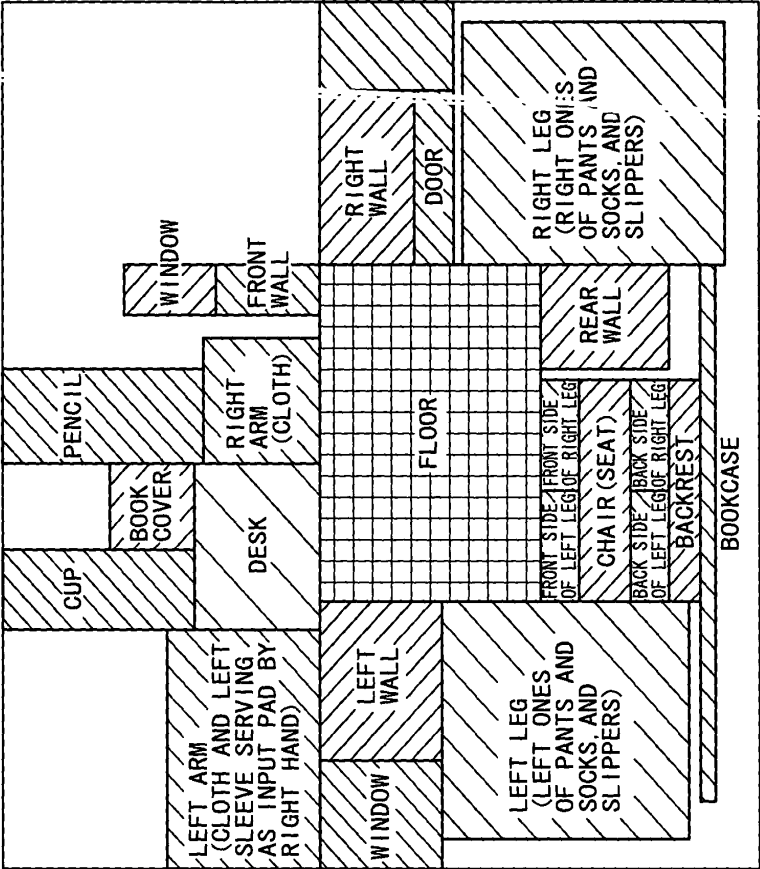


FIG. 40A  
THREE-DIMENSIONAL  
REAL ARRANGEMENT

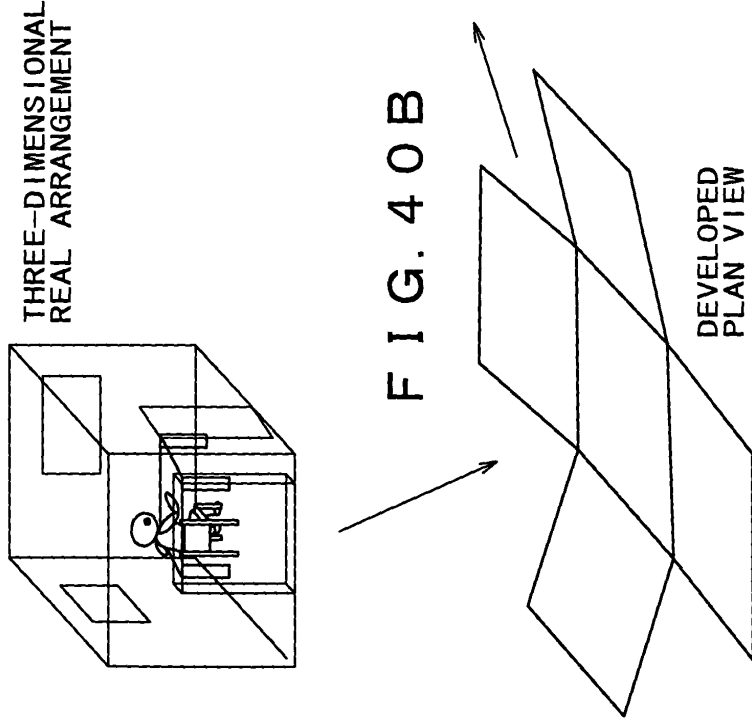


FIG. 40B

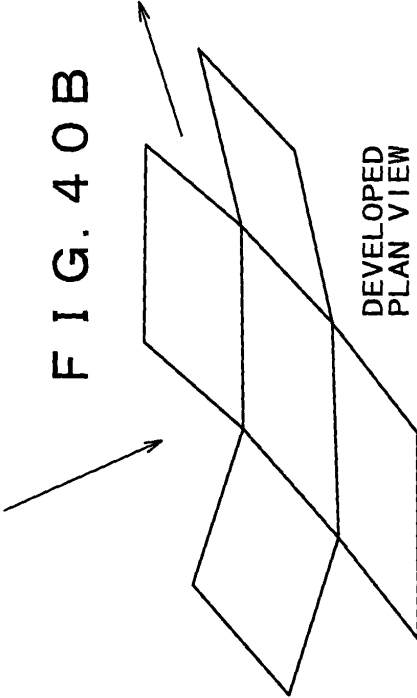


FIG. 41

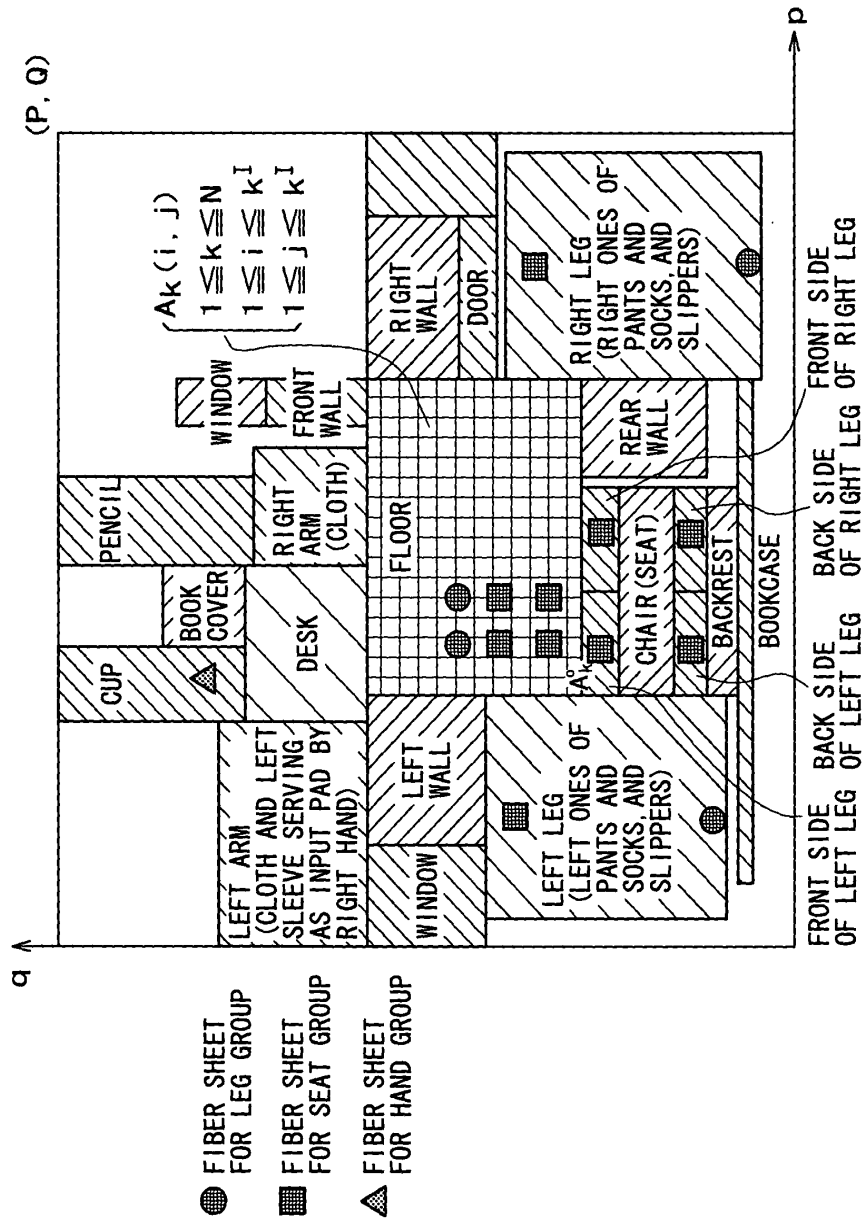




FIG. 42A

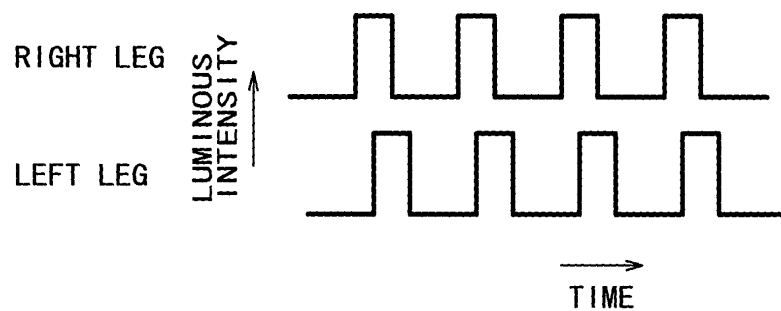


FIG. 42B

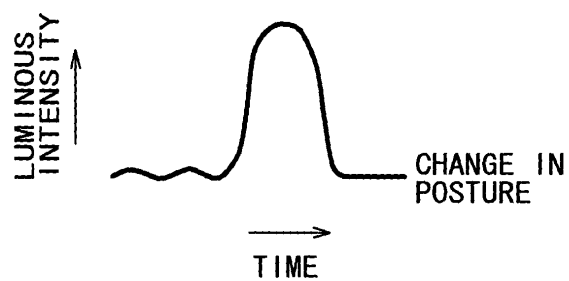


FIG. 43

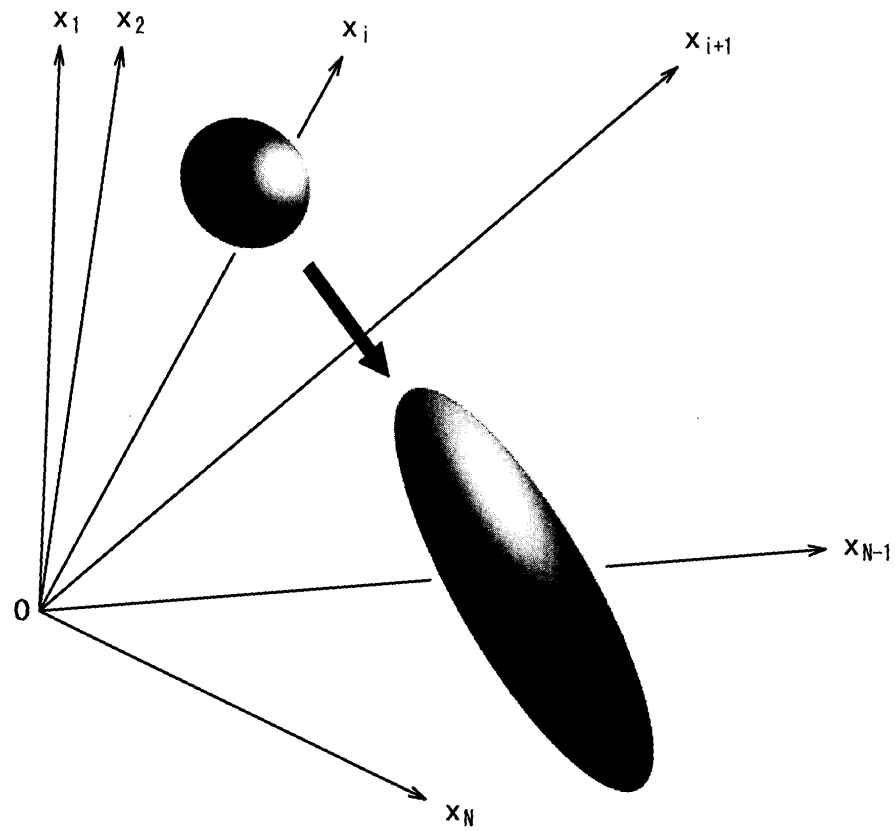


FIG. 44

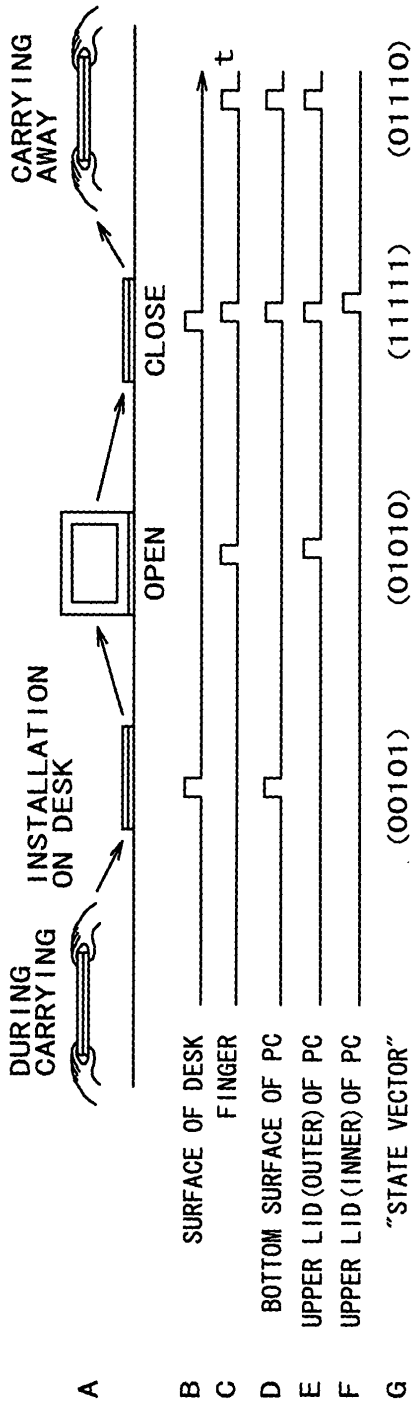


FIG. 45

